Физические поля корабля и океана

Научная статья УДК 681.2.083 https://doi.org/10.24866/2227-6858/2022-1/58-64

С.В. Шостак, А.В. Бенгард

ШОСТАК СЕРГЕЙ ВАСИЛЬЕВИЧ – к.т.н., доцент, servash@mail.ru БЕНГАРД АЛЕКСАНДР ВЯЧЕСЛАВОВИЧ – аспирант, bengard.av@dvfu.ru[™] Департамент электроники, телекоммуникации и приборостроения Политехнического института Дальневосточный федеральный университет Владивосток, Россия

Решение задачи обнаружения и оценки дальности и радиальной скорости малогабаритного подводного объекта на основе дискретно-кодированной последовательности сигналов с линейно-частотной модуляцией

Аннотация: В гидроакустике важное значение имеют гидролокация и оценка радиальной скорости подводного объекта. Сфера их применения различна — от оценки скорости морских млекопитающих до охраны морских инженерных сооружений. Проблема оценки дальности и радиальной скорости в гидроакустике актуальна и по сей день, поэтому в данной статье описан метод, с помощью которого можно определить данные параметры подводного объекта.

Ключевые слова: эффект Доплера, комплексное сопряжение, дискретно-кодированный сигнал, радиальная скорость

Для цитирования: Шостак С.В., Бенгард А.В. Решение задачи обнаружения и оценки дальности и радиальной скорости малогабаритного подводного объекта на основе дискретно-кодированной последовательности сигналов с линейно-частотной модуляцией // Вестник Инженерной школы Дальневосточного федерального университета. 2022. № 1(50). С. 58–64. https://doi.org/10.24866/2227-6858/2022-1/58-64

Введение

В гидроакустических системах (ГАС) наблюдения за подводной обстановкой анализ состояния среды проводится, как правило, благодаря излучению и приему отраженных от целей импульсных сигналов. Выбор формы зондирующего сигнала и его параметров (синтез сигнала) производится в зависимости от решаемых ГАС задач. Основными составляющими таких задач являются [3–5]:

- 1) обнаружение цели;
- 2) оценка дальности до цели;
- 3) оценка радиальной скорости цели.

Для решения этих задач зондирующий сигнал должен распространяться в гидроакустическом канале с возможно меньшими потерями, хорошо отражаться от цели и быть достаточно энергетичным для обеспечения характеристик обнаружения на фоне шумов и помех [4]. Такими сигналами могут быть сложные широкополосные сигналы с линейной частотной модуляцией (ЛЧМ-сигналы), имеющие большую длительность и широкую полосу частот. ЛЧМ-сигнал с растущей мгновенной частотой описывается выражением

$$\exp\left[j2\pi\left(f_{0}t+0.5bt^{2}\right)\right].\tag{1}$$

© Шостак С.В., Бенгард А.В., 2022

Статья: поступила: 27.01.2022; рецензия: 09.02.2022; финансирование: Дальневосточный федеральный университет.

где f_0 — начальная частота сигнала, t — время, b = F/T — коэффициент девиации, F — полоса сигнала, T — длительность сигнала. Представим график зависимости мгновенной частоты такого сигнала от времени (рис. 1).

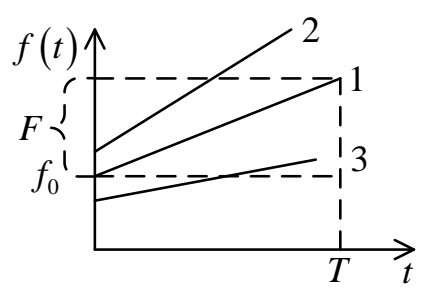


Рис. 1. Мгновенная частота ЛЧМ-сигнала: 1 – зондирующего; 2 и 3 – эхо-сигналов, деформированных эффектом Доплера

Обработка подобных сигналов проводится методом корреляционного сравнения эхосигнала с копией зондирующего, форма которого должна быть изменена в соответствии с ожидаемой доплеровской трансформацией масштаба времени [3, 5]. Особенность такой трансформации для ЛЧМ-сигналов связана с изменением коэффициента девиации, то есть наклона мгновенной частоты, представленной на рис. 1, где прямая 2 соответствует приближающейся цели, прямая 3 — удаляющейся цели.

Создание банка копий зондирующего сигнала в случае его узкополосности, когда влияние эффекта Доплера описывается сдвигом частоты, не вызывает больших затрат. В случае широкополосных ЛЧМ-сигналов изменение частотной оси происходит более сложным образом, как показано на рис. 1. Поэтому прибегают к определенным приближениям, что вызывает снижение отношения сигнал/шум [5].

Метод обработки

Рассмотрим способ обработки сложного широкополосного ЛЧМ-сигнала на основе гармонического разложения с возможностью оценки радиальной скорости цели при использовании одного импульса зондирующего сигнала.

Сформируем последовательность из двух ЛЧМ-сигналов:

$$s(t) = \left[s_1(t)s_2(t)\right]. \tag{2}$$

В выражении (2)

$$s_1(t) = \exp\left[j2\pi \left(f_1 t + 0.5bt^2\right)\right]$$

$$s_2(t) = \exp\left[j2\pi \left(f_2 t + 0.5bt^2\right)\right],$$
(3)

где t – время, f_1 и f_2 – начальные частоты (рис. 2).

Представим мгновенную частоту сигнала s(t) (рис. 2).

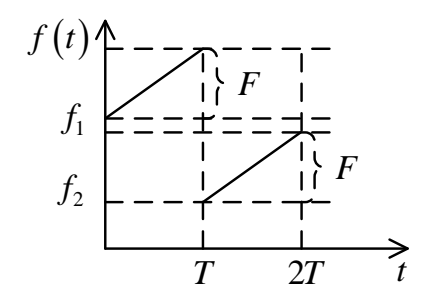


Рис. 2. Мгновенная частота сигнала s(t)

Следует заметить, что при перемножении $s_{_1}(t)$ на комплексно-сопряженный $s_{_2}(t)$ получим

$$z(t) = s_1(t)s_2^*(t) = \exp\left[j2\pi(f_1t + 0.5bt^2)\right] \exp\left[-j2\pi(f_2t + 0.5bt^2)\right] = \exp\left(j2\pi(f_1 - f_2)t\right), \quad (4)$$
 где * – комплексное сопряжение. Мгновенная частота полученного сигнала постоянна и равна $f_c = f_1 - f_2$.

Как известно, при движении цели происходит доплеровская трансформация временного масштаба по закону $t \to \alpha t$, где $\alpha = 1 + \frac{2V_r}{c}$ — доплеровский параметр, V_r — радиальная скорость цели, c — скорость звука в воде. С учетом изменения масштаба времени перепишем выражение (2):

$$s(\alpha t) = \left[s_1(\alpha t)s_2(\alpha t)\right] = \left[\exp\left[j2\pi\left(f_1\alpha t + 0.5b\alpha^2 t^2\right)\right]\exp\left[j2\pi\left(f_2\alpha t + 0.5b\alpha^2 t^2\right)\right]\right].$$
 (5)

Мгновенные частоты для $s_1(\alpha t)$ и $s_2(\alpha t)$ имеют вид $(f_1 + \alpha^2 bt)$ и $(f_2 + \alpha^2 bt)$ соответственно. Как видно, коэффициент девиации изменился в α^2 раз.

Предположим, что за время длительности посылки 2T параметр α практически не меняется. В этом случае, выполняя операцию аналогично (4), имеем

$$z(\alpha t) = s_1(\alpha t) s_2^*(\alpha t) = \exp\left(j2\pi(f_c\alpha t)\right) = \exp\left[j2\pi f_c\left(1 + \frac{2V_r}{c}\right)t\right] = \exp\left[j2\pi\left(f_c + \frac{2V_r}{c}f_c\right)t\right]. \tag{6}$$

Как и ранее, мгновенная частота результирующего сигнала постоянна и равна $f_c + \frac{2V_r}{c} f_c$, где составляющая $\frac{2V_r}{c} f_c$ определяет доплеровский сдвиг.

Представим совмещенные мгновенные частоты сигналов $s_1(\alpha t)$ и $s_2(\alpha t)$ (рис. 3).

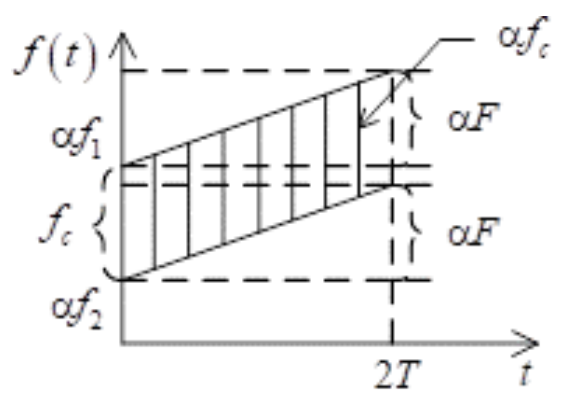


Рис. 3. Мгновенная частота сигнала $z(\alpha t)$

Таким образом, задача обработки сигналов z(t) и $z(\alpha t)$ сводится к обнаружению гармонического сигнала и оценке его частоты, которая имеет постоянное значение. Как известно, подобные задачи решаются методами спектрального анализа.

Рассмотрим возможную реализацию представленного способа обработки последовательности ЛЧМ-сигналов. Считаем, что обработка проводится в дискретном виде. Для этого случая сигналы имеют вид

$$s(\alpha n) = \left[s_1(\alpha n)s_2(\alpha n)\right] = \left[\exp\left[j\frac{2\pi}{N}\left(\alpha K_1 n + 0.5b\alpha^2 n^2\right)\right]\exp\left[j\frac{2\pi}{N}\left(\alpha K_2 n + 0.5b\alpha^2 n^2\right)\right]\right], \quad (7)$$

где n — номер отсчета по временной оси;

N — число отсчетов для $s_1(\alpha n)$ и $s_2(\alpha n)$ — аналог длительности импульса T ;

 K_1 — номер отсчета для f_1 ;

 $K_{_2}$ — номер отсчета для $f_{_2}$.

Представим структурную схему процессора обработки (рис. 4).

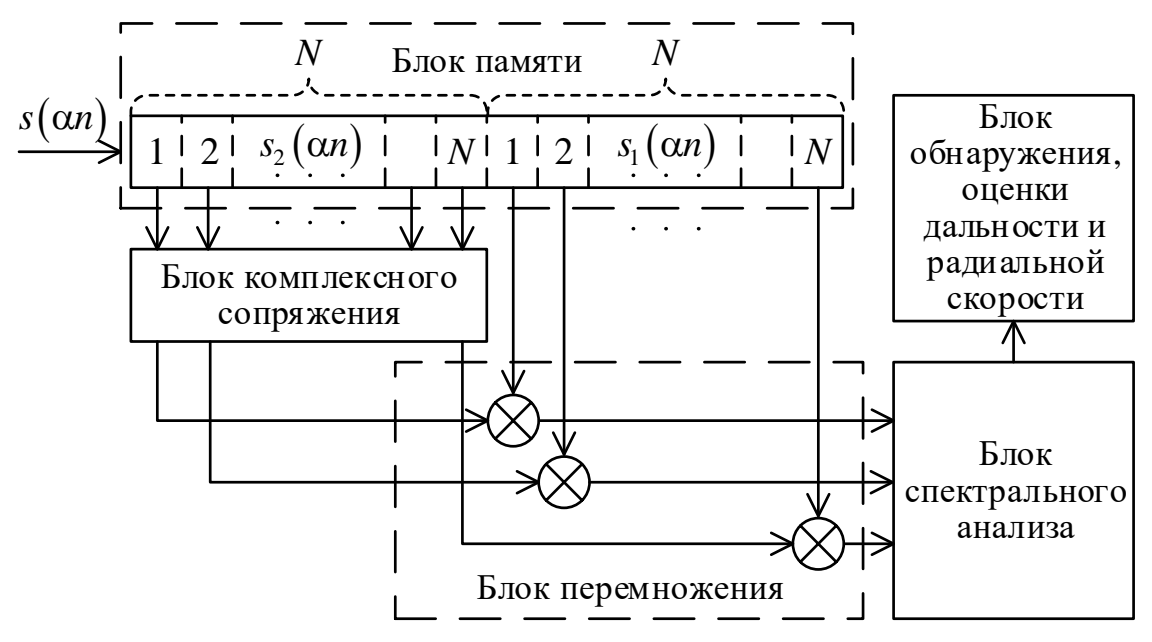


Рис. 4. Структурная схема процессора обработки последовательности ЛЧМ-сигналов

Процессор содержит блок памяти на 2N ячеек, блок комплексного сопряжения, блок перемножения, блок спектрального анализа и блок обнаружения сигнала, оценки дальности и радиальной скорости.

В блоке комплексного сопряжения сигнал $s_2(\alpha n)$ преобразуется к комплексно-сопряженному виду:

$$s_2^*(\alpha n) = \exp\left[-j\frac{2\pi}{N}(\alpha K_2 n + 0.5b\alpha^2 n^2)\right]. \tag{8}$$

Далее в блоке перемножения сигналы $s_1(\alpha n)$ и $s_2^*(\alpha n)$ перемножаются, в результате чего получаем

$$z(\alpha n) = s_1(\alpha n) s_2^*(\alpha n) = \exp\left(j\frac{2\pi}{N}K_c\alpha n\right),\tag{9}$$

где $K_c = K_1 - K_2$.

В блоке спектрального анализа вычисляется спектральная плотность мощности $z(\alpha n)$ периодограммным методом [5]:

$$z(k) = \frac{1}{N} \left| \sum_{n=0}^{N-1} z(\alpha n) \exp\left(-j\frac{2\pi}{N}Kn\right) \right|^2 = \frac{1}{N} \left| \sum_{n=0}^{N-1} \exp\left[-j\frac{2\pi}{N}(K - \alpha K_c)n\right] \right|^2.$$
 (10)

z(k) имеет максимальное значение при $K = \alpha K_c = \left(1 + \frac{2V_r}{c}\right) K_c$, откуда определяется радиальная скорость цели:

$$V_{r} = \frac{c}{2} \left(\frac{K}{K_{c}} - 1 \right). \tag{11}$$

Дальность до цели определяется по задержке появления максимума z(k) относительно момента излучения. Обнаружение сигнала, оценка дальности и радиальной скорости производятся в соответствующем блоке.

Проведем моделирование представленного способа с частотой дискретизации $10~\rm k\Gamma ц$ для следующих параметров ЛЧМ-сигналов: начальные частоты $f_1=4~\rm k\Gamma ц$ и $f_2=3~\rm k\Gamma ц$; длительность и полосу частот установим одинаковыми для обоих сигналов — $F=500~\rm \Gamma ц$, $T=1~\rm c$.

Сформированные зондирующие сигналы $s_1(t)$ и $s_2(t)$ излучим в направлении цели. Для имитации движения цели возьмем несколько значений радиальной скорости: $V_r = 0$ (цель неподвижна), -5 м/с (цель удаляется), 10 м/с (цель приближается). Отраженные от цели сигналы $s_1(\alpha n)$ и комплексно-сопряженный $s_2^*(\alpha n)$ пропустим через блок перемножения и на выходе блока спектрального анализа получим гармонический сигнал $z(\alpha n)$, мгновенная частота которого будет соответствовать радиальной скорости цели (рис. 5).

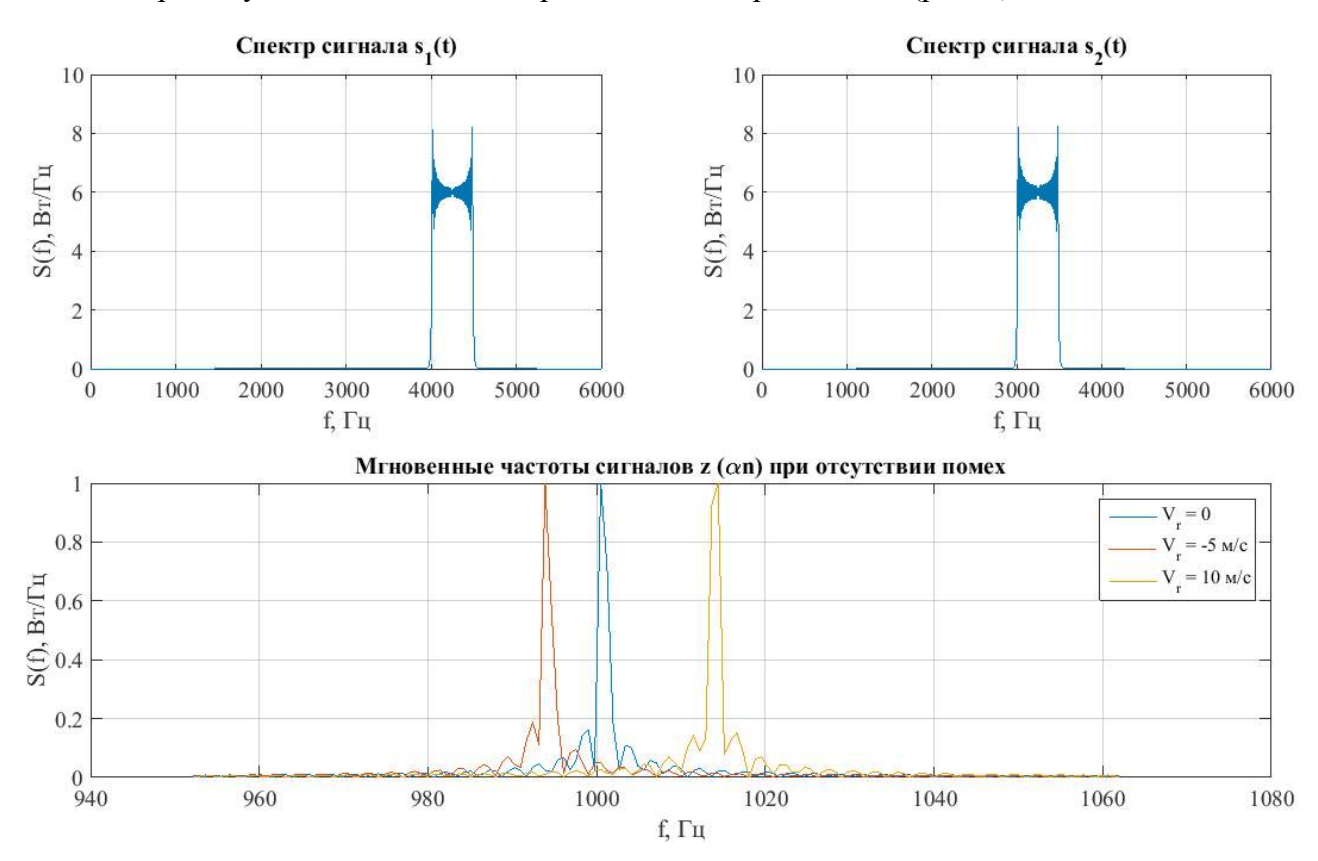


Рис. 5. Спектры излученных сигналов $s_{_1}(t)$, $s_{_2}(t)$ и мгновенные частоты сигналов $z(\alpha n)$ при отсутствии помех

Для иллюстрации помехоустойчивости предлагаемого способа добавим к сигналам $s_1(\alpha t)$ и $s_2(\alpha t)$ белый некоррелированный гауссовский шум мощностью -10 дБ (что соответствует отношению звуковых давлений полезного сигнала и шума в 3,16 раза), имитируя помеху морской среды, и повторим операцию нахождения сигнала $z(\alpha n)$ (рис. 6).

Для наглядности на рисунках 5 и 6 представлены нормированные уровни спектральной плотности сигналов $z(\alpha n)$. Видно, что используемый при спектральном анализе метод периодограмм позволяет оценивать радиальную скорость цели при наличии достаточно сильного шума -10 дБ.

www.dvfu.ru/vestnikis

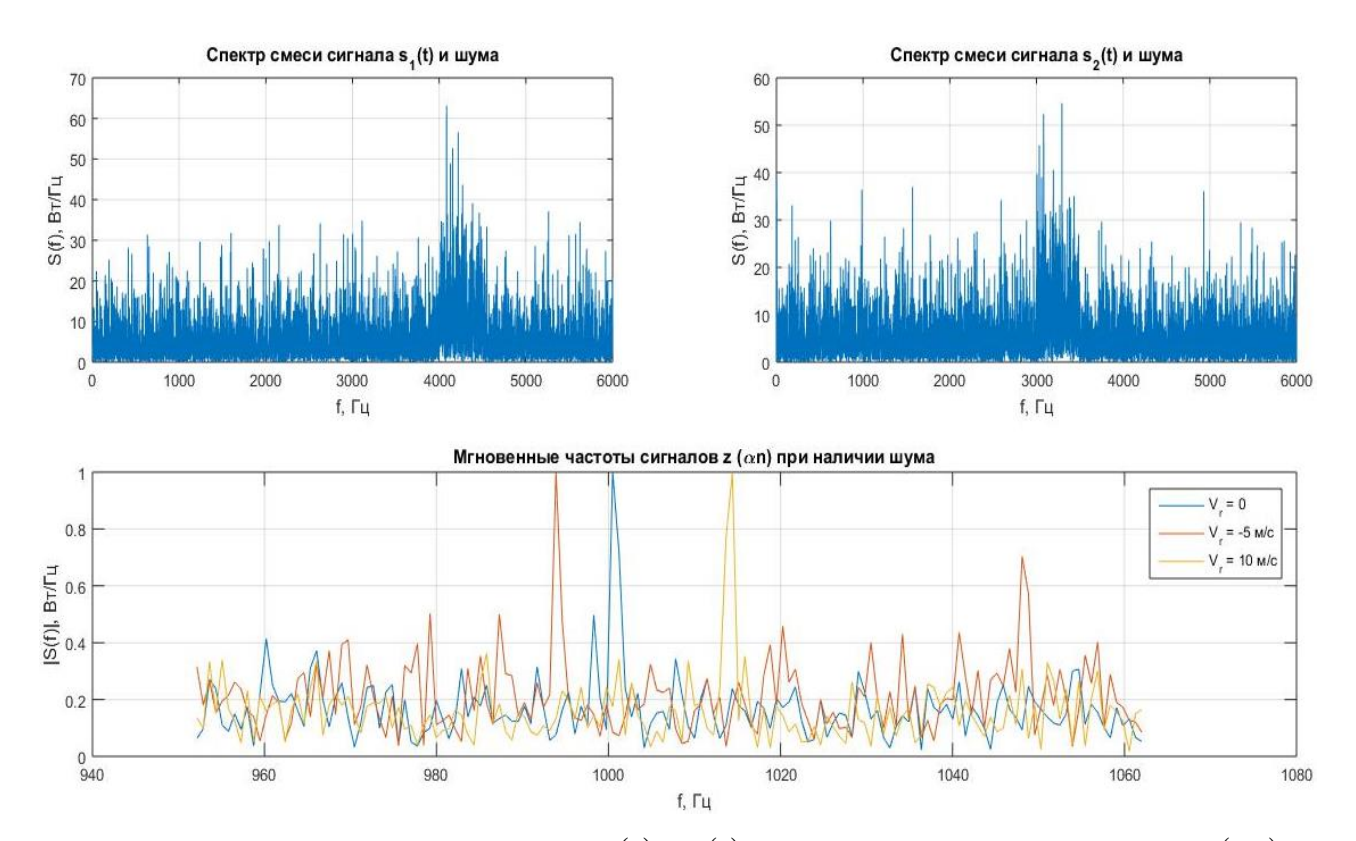


Рис. 6. Спектры излученных сигналов $s_1(t)$, $s_2(t)$ и мгновенные частоты сигналов $z(\alpha n)$ с предполагаемой помехой морской среды

Заключение

В представленной работе обоснован метод обработки последовательности из двух ЛЧМ-сигналов, инвариантный относительно эффекта Доплера. Показано, что в ходе применения ЛЧМ-сигналов с одинаковыми коэффициентами девиации, но разными начальными частотами при их смешивании образуется гармонический сигнал с постоянной частотой, сдвиг которой зависит от доплеровского параметра. В результате обработка сигналов свелась к выделению гармонической составляющей и оценке ее частоты. Такая задача решается методами спектрального анализа на основе быстрых алгоритмов Фурье, что позволяет не вводить приближений, связанных с потерей в отношении сигнал/шум, как описано в [5].

Заявленный вклад авторов: все авторы сделали эквивалентный вклад в подготовку публикации. Авторы заявляют об отсутствии конфликта интересов.

СПИСОК ИСТОЧНИКОВ

- 1. Марпл-мл. С.Л. Цифровой спектральный анализ и его приложения. Москва: Мир, 1990. 584 с.
- 2. Шендеров Е.Л. Волновые задачи гидроакустики. Ленинград: Судостроение, 1972. 348 с.
- 3. Abraham D.A. Underwater acoustic signal processing. ASA Press, Springer, 2019. 834 p. DOI: 10.1007/978-3-319-92983-5
- Jensen F.B., Kuperman W.A., Porter M., Schimlal H. Computational ocean acoustics. Springer New York, Dordrecht Heidelderg, London, 2011. 795 p. DOI: 10.1007/978-1-4419-8678-8
- 5. Tianzeng X., Lufen X. Digital Underwater Acoustic Communications. China Ocean Press, Elsevier Inc., 2017. 290 p. DOI: 10.1016/C2014-0-00624-7

63 www.dvfu.ru/vestnikis

FEFU: SCHOOL of ENGINEERING BULLETIN. 2022. N 1/50

Physical Fields of Ship, Ocean and Atmosphere

www.dvfu.ru/en/vestnikis

Original article

https://doi.org/10.24866/2227-6858/2022-1/58-64

Shostak S., Bengard A.

SERGEY V. SHOSTAK, Candidate of Engineering Sciences, Associate Professor, servash@mail.ru
ALEXANDER V. BENGARD, Postgraduate Student, bengard.av@dvfu.ru
Polytechnic Institute
Far Eastern Federal University
Vladivostok, Russia

Small-sized underwater object's detection and its radial velocity and range estimation based on discrete-coded frequency-modulated signal sequence

Abstract: Hydrolocation and underwater object's detection and radial velocity estimation play an important role in hydro-acoustics. Their area of application varies from marine mammals' velocity estimation to marine engineering structures' protection. This article describes a processing method of small-sized underwater objects' detection and velocity estimation based on discrete-coded frequency-modulated signal sequence. Nowadays, range and radial velocity estimation problem is still relevant, so this article describes the method used to determine these parameters of an underwater object.

Keywords: Doppler effect, complex conjugation, discrete-coded signal, radial velocity

For citation: Shostak S., Bengard A. Small-sized underwater object's detection and its radial velocity and range estimation based on discrete-coded frequency-modulated signal sequence. FEFU: School of Engineering Bulletin. 2022;(50):58-64. (In Russ.). https://doi.org/10.24866/2227-6858/2022-1/58-64

Contribution of the authors: the authors contributed equally to this article.

The authors declare no conflict of interests.

REFERENCES

- 1. Marple S.L.Jr. Digital spectral analysis and its applipation. Moscow, Mir, 1990. 584 p.
- 2. Shenderov E.L. Hydroacoustics wave tasks. Leningrad, Sudostroenie, 1972. 348 p.
- 3. Abraham D.A. Underwater acoustic signal processing. ASA Press, Springer, 2019. 834 p. DOI: 10.1007/978-3-319-92983-5
- 4. Jensen F.B., Kuperman W.A., Porter M., Schimlal H. Computational ocean acoustics. Springer New York, Dordrecht Heidelderg, London, 2011. 795 p. DOI: 10.1007/978-1-4419-8678-8
- 5. Tianzeng X., Lufen X. Digital Underwater Acoustic Communications. China Ocean Press, Elsevier Inc., 2017. 290 p. DOI: 10.1016/C2014-0-00624-7